

土の構成方程式に関する一考察

東北大学工学部(正) 飛田 善雄

1 まえがき

数値解析手法、例えば有限要素法、の発達に伴いより合理的な土の構成方程式に基づく解析が可能となり、また、土の応力-ひずみ関係を特徴づけるものは、非線形性とダイレタンシーである。さらに動的問題を表現しようとする場合、いわゆるハウジング効果、ヒステリシス特性を表現する事が必要になる。

簡単に構成式の発展を予りかえると、

- 1) 非線形性 → Duncan Chang らの双曲線近似に基づく式、非弹性論
- 2) ダイレタンシー → Cam clay model, Pender, 関口らの式、弾塑性論(等方硬化)
- 3) ハウジング効果、ヒステリシス特性 → Prevost, Zienkiewicz (弾塑性論(移動硬化))

関口らの式は時間依存変形も取扱う事ができる。一般にこれららの式は、土の特性を取り入れていくに従い、求めねばならないパラメータの数が多くなり、実験手段は複雑なものとなる。現実地盤に於ける不均質性、及び不規則試料採取時の乱れの影響等を考慮すると、複雑な式がこれまで、現実問題に関して適用可能であるか疑問が残る。土質力学を体系づけるためには、その構成式を確立する必要性がある事はいうまでもないが、現場の問題を従来の手法(多くは弾性理論、一次元圧密理論及び円弧可逆性等の手法)よりも合理的な手法で解析・予測するためには、現場状況に応じた精度の構成式を用い、数値解析手法により、その特性を把握し、必要な追試験を行なうという姿勢も必要である。一つの例として軟弱地盤上の堤体の短期安定問題の適用を中心とする構成式について考察する。

2. 軟弱地盤上の堤土に関する問題

周知の如く、軟弱地盤上に堤体を築造する場合に、最も危険な状態は、築堤終了後である。この状態は、三軸圧縮試験では、非排水試験で与えられる。短期安定問題を解析するには、この非排水状態に於ける間けき水圧及び変形性状の予測が必要となる。現場状況をより良く再現するためには、平面ひずみ試験器、 K_0 圧密後の供試体について非排水試験を行なうのが望ましいが、現状では、三軸圧縮試験器等圧密後の非排水試験によりパラメタを決定できる方が利点が多いものと思われる。

図1(A)に示す様に軟弱地盤上に堤体を築造した状況を考える。この時地盤中の要素 A の応力経路を図1(B)に示す。実線は全応力であり、破線は有効応力経路である。 U_S は定常状態の間けき水圧、 U_C は平均応力変化による過剰間けき水圧、 U_d はせん断応力変化による(ダイレタンシーによる)間けき水圧変化である。 K_f は有効応力による破壊線、 α は全応力による破壊線とする。 α 時の応力-ひずみ曲線を図(C)に示す。非排水状態であるので、体積ひずみ成分はあらわれない。簡単のために、等方状態から非排水でせん断されるものとしている。変形は有効応力を支配されるものであるが、図1 の関係よりせん断応力をとして P'_0 上のせん断応力を用いても良い事が解る。これは非排水状態では、堤体築造による平均応力の変化は、変形に寄与しない。

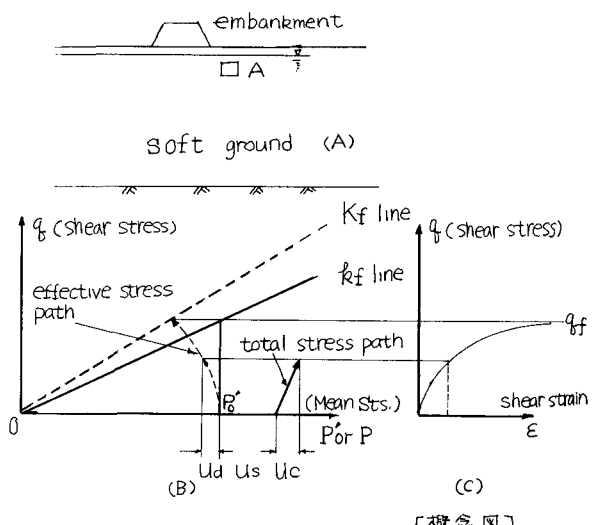


図1. 非排水状態に於ける応力経路と応力ひずみ曲線

事を示している。以下に構成式を求める手順を示し、現場をよりよく再現するために、 K_0 圧密状態を構成式に取り入れる事を考える。

3. 正規圧密粘土の非排水状態における構成式

三軸圧縮試験器を用いててひ試験を行う。この際現場からの不擾乱試料採取には、充分の注意を払い、圧密圧力は、少くとも現場の工被り圧よりも大きいものとし、圧力を3個以上送り S_{ij} の直線性及び K_f の対称性を確認する。又 $\delta P'_0$ （ δ ：せん断応力低下、 P'_0 ：圧密圧力 $=\frac{1}{3}(P_0+2P_e)$ ）ヒセン断ひすみ γ （以下に述べる定義により、軸ひすみ ϵ_a である）の一対称性（Normalized Behavior）を確認する。以下の式ではこれらの条件が必要である。

せん断ひすみの算出

非排水条件下にある塑性ボテンシャルとして

$$g = \left(\frac{3}{2}S_{ij}S_{ij}\right)^{\frac{1}{2}}, S_{ij} = \sigma_y - \frac{1}{3}K_0\sigma_y \quad (1)$$

塑性論により、偏差塑性ひずみ端分 $d\epsilon_{ij}^{(p)}$ は

$$d\epsilon_{ij}^{(p)} = \lambda \frac{\partial g}{\partial S_{ij}} \quad (2)$$

降伏条件 $f = f(P_0, \gamma, K) = 0$, $f = \frac{\sigma_y}{P_0} - K(\gamma) \quad (3)$

$$\therefore K, \gamma = \left(\frac{3}{2}S_{ij}S_{ij}\right)^{\frac{1}{2}}, K = \frac{f_0}{3}d\epsilon_{ij}^{(p)}d\epsilon_{ij}^p$$

塑性ひずみを生じさせた条件 $df = 0$ たり、 λ を求めると

$$\lambda = -\frac{\partial f}{\partial S_{ij}} = \frac{2f}{8S_{ij}} \quad (4)$$

$$\frac{2f}{8S_{ij}} d\epsilon_{ij} = \frac{1}{P_0} \frac{S_{ij} dS_{ij}}{\left(\frac{3}{2}S_{ij}S_{ij}\right)^{\frac{1}{2}}} \quad (5)$$

応力比 $\eta = \frac{\sigma_y}{P_0}$ と硬化パラメタ $\lambda = \frac{2}{3}d\epsilon_{ij}^{(p)}d\epsilon_{ij}^p$ の関係を双曲線表示で近似する：

$$\frac{\lambda}{\eta} = b + aK \quad \left\{ \begin{array}{l} \frac{1}{\lambda} = \eta_f = \frac{\sigma_y}{P_0} \\ \end{array} \right. \quad (6)$$

両辺を微分して、 $b = H \alpha \eta = 0$

$$\frac{\partial \lambda}{\partial \eta} = \frac{1}{b} (1 - a\eta)^2 = H' \quad (7)$$

(5)式と(7)式を(4)式に代入し、さらに(2)式 K 代入すれば

$$d\epsilon_{ij}^{(p)} = \frac{3S_{ij}S_{ke}}{2H'P_0B^2} ds_{ke} \quad (8)$$

が得られる。（以後、統和観察を用いた $S_{ij} = S_{ij}^x + S_{ij}^y + 2S_{ij}^z$ とおき水压の推定

有効応力経路を次式で近似する。（Pender, 1977）

$$\left(\frac{\eta'}{K_f}\right)^2 = \frac{P'_0}{P'_e} \left\{ \frac{1 - P'_0/P'_e}{1 - P'_0/P_{cs}} \right\}, \eta' = \eta/\eta_f \quad (13)$$

(13)式を仮定する事により、以降の計算による過剰間

げき水压が求まる（図1参照）。以上を手順により

各要素の変形特性と過剰間げき水压計算算定される事

になる。但しこの式が適用可能な状態は、圧縮状態（ $\gamma < 0$ ）であり、伸張状態（ $\gamma > 0$ ）については適用できない

K_0 圧密状態の再現

い。これは中立が物理的意義を持たない為である。

以上述べた手順により、 K_0 圧密後の変形挙動を推定するため、図2に示す等価圧密圧力（仮定） P_e を用いる。すなわち(8)式における P_0 の代わりに P'_0 を用い、 $\eta_f = K_f \times P'_0$ とする。 $H' = \frac{1}{b} (1 - \frac{\eta_f - \eta^*}{\eta_f - \eta})^2$ 、 $S_{ij}' = S_{ij} - \alpha \eta_f d\epsilon_{ij}$ は K_0 圧密後の応力状態とする。屈伏条件及び塑性ボテンシャルは S_{ij}' により全て書き換えるものとする。又有効応力経路は $\left(\frac{\eta' - \eta^*}{K_f - \eta^*}\right)^2 = \frac{P'_0}{P'_e} \left\{ \frac{1 - P'_0/P'_e}{1 - P'_0/P_{cs}} \right\}$ と仮定する。4. あとがき 以上の式は近似的なものであり、一般性は必ず限られた条件でのみ成立するものである事は注意を要する。過圧密効果は容易に取り入れられる。

参考文献 1) Prevost (1977) 9th ICSMFE, Vol. 2) Pender (1977) 9th ICSMFE Speciality Session No. 9

・全ひずみ $d\epsilon_{ij}$ は弾性ひずみ $d\epsilon_{ij}^{(e)}$ と塑性ひずみ $d\epsilon_{ij}^{(p)}$ の和である

$$d\epsilon_{ij} = d\epsilon_{ij}^{(e)} + d\epsilon_{ij}^{(p)}$$

$$\therefore d\epsilon_{ij}^{(e)} = d\epsilon_{ij} - d\epsilon_{ij}^{(p)}$$

$$ds_{ij} = 2G d\epsilon_{ij}^{(e)} = 2G (d\epsilon_{ij} - d\epsilon_{ij}^{(p)}) \quad (9)$$

(8)式を(9)式に代入して

$$ds_{ij} = 2G (d\epsilon_{ij} - \frac{3S_{ij}S_{ke}}{2H'P_0B^2} ds_{ke}) \quad (10)$$

(10)式の両辺に S_{ij} をかけ、 $S_{ij} ds_{ij}$ を求める

$$S_{ij} ds_{ij} = \frac{H'P_02G S_{ij} d\epsilon_{ij}}{(H'P_0 + 2G)} \quad (11)$$

(11)式を(10)式に代入して、

$$ds_{ij} = 2G d\epsilon_{ij} - \frac{6G^2 S_{ij}}{(H'P_0 + 2G)B^2} S_{ke} ds_{ke} \quad (12)$$

以上が一般応力状態に於ける応力ひずみ関係式である

三軸圧縮状態の時、応力比 $\eta = \frac{P_0 - P_e}{P_0}$ となり硬化パラメタ K は $K = \frac{2}{3}d\epsilon_{ij}^{(p)}d\epsilon_{ij}^p = f d\epsilon_{ij}^p = \epsilon_{ij}^{(p)}$ とする。(8)式における H' は(6)式で $\eta = \frac{P_0 - P_e}{P_0}$ 、 $K = \epsilon_{ij}^{(p)}$ において b 及 α を作図上決定する事により、(12)式で与えられる。

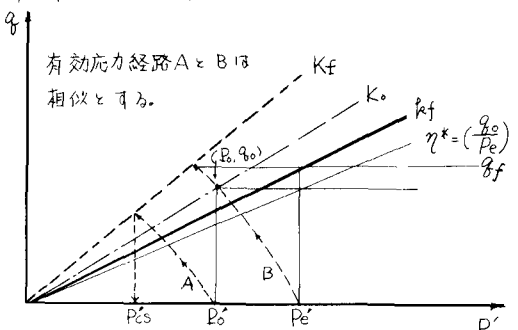


図2 K_0 圧密を受けた土の等価圧密圧力 P_e と η_f の算出法